

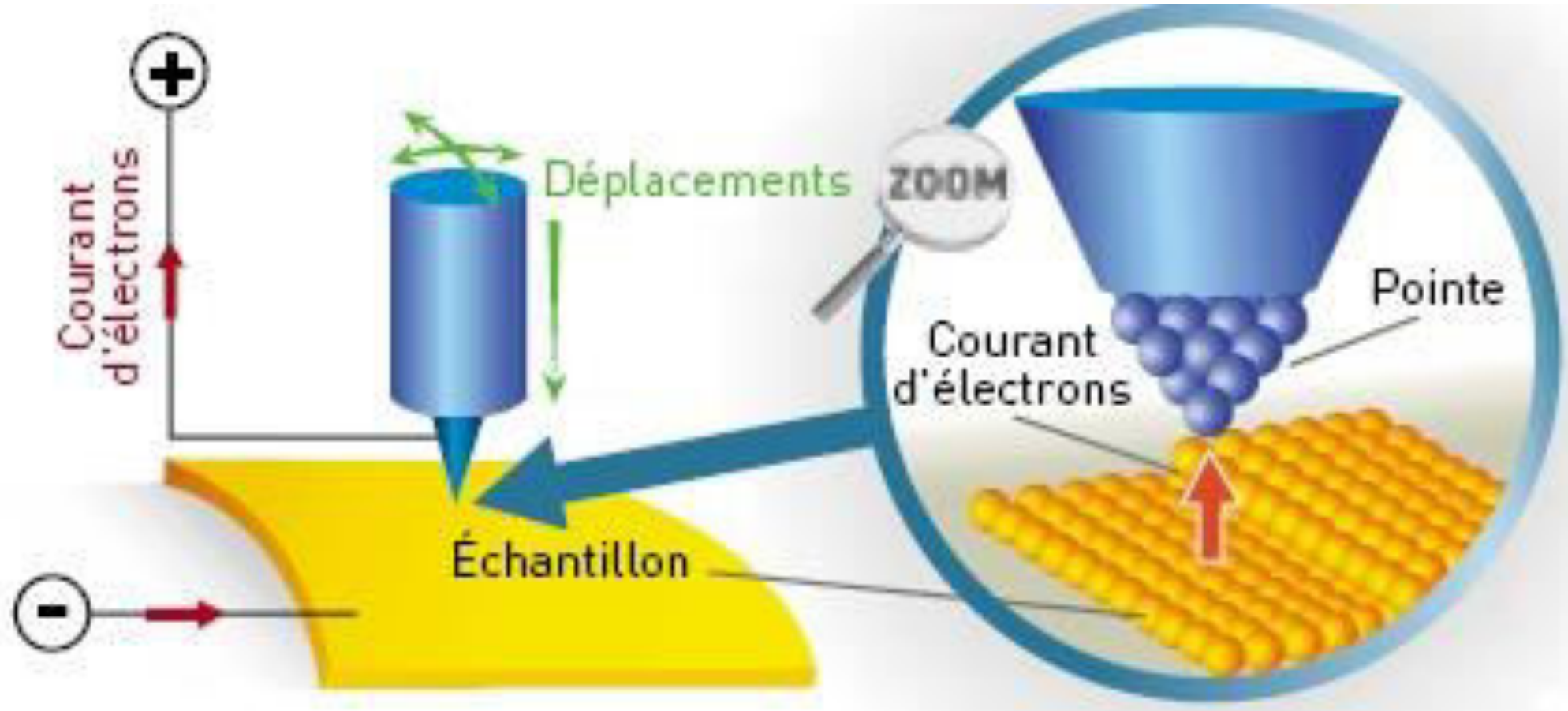
LP 41 – Effet tunnel

ALEXANDRA D'ARCO

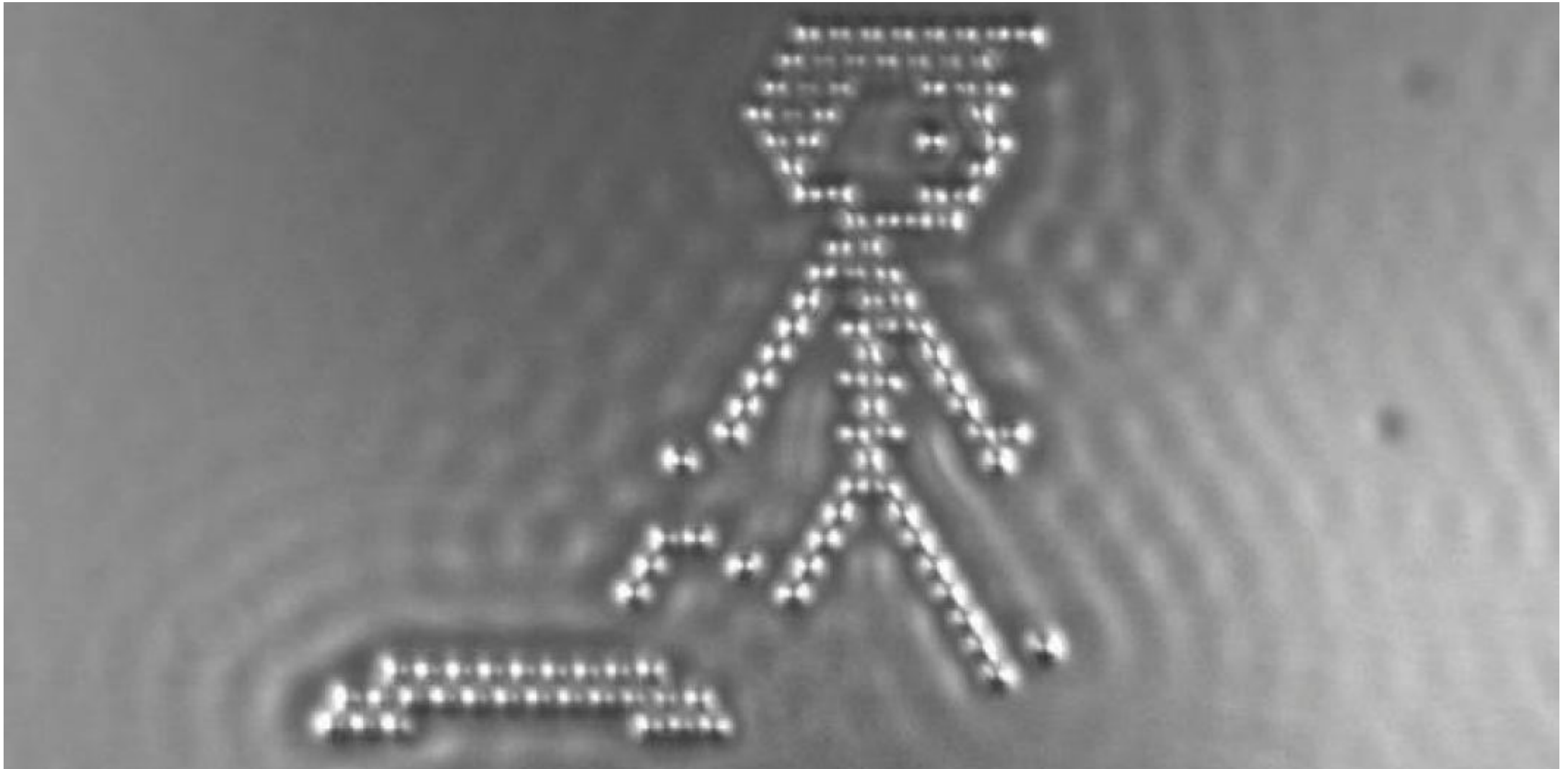
I.3) Probabilité de réflexion et de transmission

Particule	m (kg)	V_0 (eV)	a (nm)	δ (nm)	T
Électron	10^{-30}	4	0,3	0,1	10^{-2}
Électron	10^{-30}	40	0,3	4×10^{-2}	10^{-6}
Électron	10^{-30}	4	3	0,1	10^{-20}
Proton	10^{-27}	4	0,3	4×10^{-3}	10^{-63}
Proton	10^{-27}	4	3	2×10^{-3}	10^{-628}

I.4) Application technologique : le microscope à effet tunnel



I.4) Application technologique : le microscope à effet tunnel



II.1) Faits expérimentaux

Noyau	Demi-vie $\tau_{\frac{1}{2}}$	$E(\text{Mev})$
$^{212}_{83}\text{Bi}$	$4,0 \cdot 10^4$	6,2
$^{212}_{84}\text{Po}$	$3,0 \cdot 10^{-7}$	9,0
$^{215}_{85}\text{At}$	$1,0 \cdot 10^{-4}$	8,1
$^{226}_{88}\text{Ra}$	$5,4 \cdot 10^9$	4,9
$^{236}_{92}\text{U}$	$7,2 \cdot 10^{14}$	4,4
$^{232}_{90}\text{Th}$	$4,4 \cdot 10^{17}$	4,0

